

07

© 1992 г.

ПРИМЕНЕНИЕ ДИНАМИЧЕСКИХ ГОЛОГРАММ С ЗАПИСЬЮ В ПОГЛОЩАЮЩИХ ГАЗАХ ДЛЯ УСИЛЕНИЯ МАЛОИНТЕНСИВНЫХ ОПТИЧЕСКИХ ИЗОБРАЖЕНИЙ

A. M. Березинская, A. M. Духовный

Изучены процессы голографирования зеркальных и диффузно рассеивающих объектов по традиционной оптической схеме и с применением импульсного оптического усилителя изображений на основе динамических голограмм в поглощающих газах. В результате исследования величин контраста восстановленных изображений и дифракционной эффективности голограмм в области низких интенсивностей регистрируемого излучения было установлено, что использование рассматриваемого типа усилителя для усиления объектных пучков позволяет расширить диапазон регистрируемых интенсивностей и чувствительность голографического метода записи изображений на галоидосеребряные среды более чем на два порядка.

Использование динамических голограмм (ДГ) в качестве голографических усилителей изображений (ГУИ) объектов [1—3] позволяет решить по крайней мере две задачи при регистрации маломощных световых потоков. Первая — это увеличение эффективности использования лазерной энергии, что эквивалентно снижению требований к чувствительности регистрирующего фотоприемника или интенсивности излучения лазера как источника освещения объекта. Это достигается перераспределением части освещдающего объект пучка в пучок накачки (опорный) ДГ, которая расположена между объектом и фоторегистратором, с последующей перекачкой энергии объектному пучку вследствие взаимодействия волн в ДГ [4]. Такой способ регистрации оптического сигнала от объекта не требует дополнительных затрат энергии, которые имели бы место с применением лазерного усилителя, например, и при определенных условиях может оказаться энергетически более выгодным, чем при освещении объекта всем лазерным пучком. Проиллюстрируем это. Пусть Φ_L — поток энергии лазера; α ($\alpha < 1$) — коэффициент энергетических потерь в канале объектного пучка; k ($k < 1$) — коэффициент, определяющий часть излучения, направляемую в пучок накачки; η — эффективность преобразования пучков ДГ, характеризующая долю пучка накачки, передаваемую объектной волне в ДГ; S — площадь фотоприемника. Тогда освещенность фотоприемника при традиционном способе измерения сигнала, т. е. в отсутствие ГУИ, будет $E = (1 - \alpha) \cdot \Phi_L / S$, а в случае применения ГУИ $E_G = \eta \cdot k \cdot \Phi_L / S$. Отношение

$$\beta = E_G / E = \frac{\eta \cdot k}{1 - \alpha} \quad (1)$$

характеризует величину выигрыша в освещенности фоторегистратора при усилении объектной волны, и этот выигрыш имеет место при условии $\beta > 1$ или $\eta \cdot k > 1 - \alpha$, т. е. только при наличии потерь объектного пучка, с увеличением которых выигрыш становится более значительным, а следовательно, использование ГУИ будет наиболее эффективным при усилении малоинтенсивных оптических сигналов. Достигнутые на практике величины эффективностей преобразования $\eta = 0.5 - 0.6$ [5], коэффициент k желательно иметь по величине как можно ближе к единице, однако сверху он ограничивается величиной потока объектного пучка $\Phi_{ob} = (1 - \alpha)(1 - k)\Phi_L$, который должен быть, очевидно, больше уровня собст-

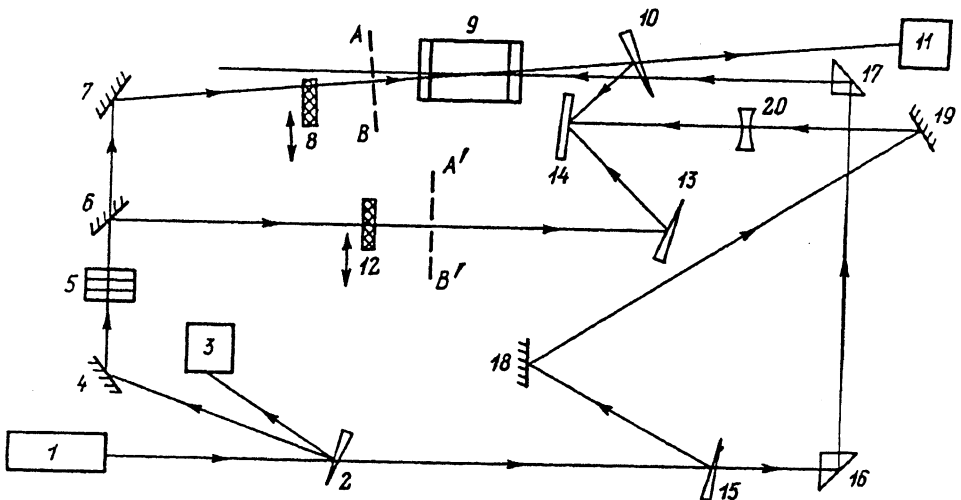


Рис. 1. Оптическая схема эксперимента.

1 — импульсный лазер; 2, 10, 13, 15 — стеклянные клины; 3, 11 — измерители для лазерной дозиметрии ИЛД-2М; 4, 7, 18, 19 — полностью отражающие зеркала; 5 — светофильтры; 6 — полупрозрачное зеркало; 8, 12 — диффузные экраны; 9 — кювета со смесью газов; 14 — фотопластинка для записи голограмм; 16, 17 — призмы; 20 — отрицательная линза.

венных шумов ГУИ. Потери света в канале объектного пучка могут быть вызваны различными причинами, в том числе малыми прозрачностями или коэффициентами отражения объектов, диффузным характером рассеяния света от них и т. д.

Во втором, наиболее актуальном на практике случае, потери могут быть весьма значительными в силу того, что пучок рассеивается от исследуемого объекта в большой телесный угол и не попадает на регистрирующее устройство, имеющее ограниченные размеры. Использование ГУИ позволяет основную часть энергии объектного пучка усилить в полосе пространственных частот ГУИ, обеспечивающей наиболее полное попадание излучения на фотоприемник. Оценки показывают, что β в этом случае может достигать величин более одного порядка.

Вторая задача, которую позволяет решать ГУИ — это снижение минимально возможного уровня регистрируемого оптического сигнала, что становится возможным при условии более низкой интенсивности собственных шумов ГУИ по сравнению с шумами регистрирующего устройства. Пример решения этой задачи был продемонстрирован в [6], где ГУИ на фотопрерывистом кристалле использовался в качестве предуслителя лазера на парах меди.

Перспективными для целей импульсного усиления оптического излучения являются ДГ в газах с тепловой нелинейностью, что обусловлено возможностью высокоеффективного преобразования (свыше 50%) изображений зеркальных и диффузно рассеивающих объектов [5, 2–3], малыми величинами фазовых aberrаций объектного пучка, вносимых ДГ, в достаточно широком интервале параметров записи голограмм [7], а также сравнительно низким уровнем собственных шумов ДГ, составлявшим менее 10^{-8} пучка накачки в телесном угле 10^{-2} ср и по крайней мере на два порядка меньшим типичной величины шума для широко распространенных фоторегистрирующих сред на основе галоидсеребряных эмульсий [8]. Это связано с тем, что если при регистрации оптического сигнала в фотослое наблюдается шумовое излучение, связанное с рассеянием света на поверхности рельефа фотослоя, зернистой структуре эмульсий, неоднородностях оптических элементов и интермодуляционные шумы [9, 10], то в случае записи тепловых ДГ в газах первые два типа отмеченных шумов для ДГ неактуальны. Далее, следует учсть, что шумы ДГ обусловлены рассеянием пучка накачки на

усищлению шума в поле накачки преимущественно в противоположном накачке направлении [8], а это допускает возможность усиления светового импульса при больших значениях отношения сигнал/шум в направлениях, отличных от точно встречного; в то же время подобная отстройка сигнала от шума путем изменения геометрии регистрации изображений на фотоэмulsionию практически исключена из-за большеголового (десятка градусов) характера рассеяния света на зернах эмульсий и оптических элементах установки [9, 10]. Наиболее заметно преимущество тепловых ДГ в газах перед галоидосеребряными фотоэмulsionиями с точки зрения параметра сигнал/шум должно проявиться при голограммическом способе регистрации изображений объектов на такие фотоэмulsionии, так как в этом случае уровень шумов в восстановленном голограммой изображении определяется опорным пучком, в то время как при фотографическом на несколько порядков меньшим по интенсивности объектным пучком. Из вышесказанного следует целесообразность использования тепловых ДГ в качестве оптического усилителя для расширения диапазона регистрируемых интенсивностей галоидосеребряными фотоматериалами, что актуально, в частности, при голографировании объектов в неразрушающем контроле. В предлагаемой работе приводятся результаты сравнительного исследования процесса голографирования зеркальных и диффузно рассеивающих объектов с использованием ГУИ на основе записи ДГ в поглощающих газах и в его отсутствие.

Оптическая схема эксперимента приведена на рис. 1. Источником излучения служил одномодовый лазер на неодимовом стекле с преобразованием во вторую гармонику ($\lambda = 0.53$ мкм), обеспечивавший генерацию импульсов длительностью 25–30 нс. Диаметр лазерного пучка составлял 4 мм. Нестационарная запись отражательных ДГ осуществлялась вырожденными по частоте пучками с углом схождения $\Theta = 177.5^\circ$ в газовой смеси окислов азота и ксенона [5, 11], заполнившей кювету длиной 5 см с прозрачностью используемой смеси на длине волны второй гармоники 40%. Плотность энергии пучка накачки в экспериментах не изменялась и составляла $w_{\text{нак}} = 0.35$ Дж/см². Голографическая запись усиленных ГУИ и неусиленных изображений объектов осуществлялась одновременно на промышленных фотопластинках ВРП, широко используемых для целей голографии в зеленой области спектра [12]. Объектные пучки формировались идентичными диффузными экранами 8 и 12, расположеными на равных расстояниях от голограммы 14, причем экран 8 устанавливался таким образом, чтобы исключалось попадание на него прошедшего кювету пучка накачки, либо использовались плоские волны в отсутствие экранов. На экране устанавливался репер в виде креста из проволоки толщиной 0.3 мм. Полупрозрачное зеркало 6 обеспечивало равенство интенсивностей пучков перед диффузными экранами. Оба объектных пучка направлялись клиньями 10 и 13 на различные участки фотопластинки 14 под разными углами к опорному пучку, что позволяло избежать появления дополнительных изображений при восстановлении голограммы, затрудняющих проведение корректных измерений ее дифракционной эффективности (ДЭ) и контраста восстановленных изображений. Опорный пучок на голограмму 14 формировался с помощью оптического клина 15, зеркал 18 и 19 и отрицательной линзы 20. Плотность энергии пучка в плоскости фотопластинки 14 составляла $2 \cdot 10^{-4}$ Дж/см², что обеспечивало получение максимума ДЭ при восстановлении голограмм. Голографические изображения восстанавливались излучением гелий-неонового лазера и строились линзой с требуемым увеличением. Критерием исчезновения изображения при восстановлении в случае наличия диффузного экрана являлось исчезновение репера в изображении, а в случае восстановления плоской волны — исчезновение в фокальной плоскости линзы светового пятна малого размера, характерного для сфокусированной плоской или сферической волны, при этом в обоих случаях в плоскости изображений и дальней зоне наблюдалась типичная для когерентных шумов спекловая картина поля. Контраст восстановленного изображения (γ) рассчитывался из соотношения $\gamma = (I_c - I_{\text{ш}})/(I_c + I_{\text{ш}})$, где интенсивность шума $I_{\text{ш}}$ измерялась в перекреcтии репера

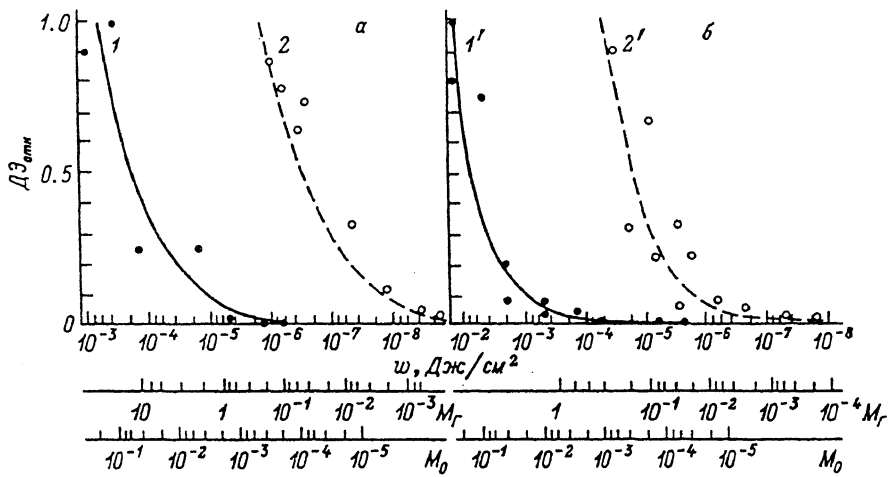


Рис. 2. Зависимость нормированной дифракционной эффективности голограмм от плотности энергии объектного пучка при записи изображений зеркальных (а) и диффузно рассеивающих (б) объектов без усиления (1, 1') и с усилением (2, 2') объектного пучка.

Сплошные линии — эксперимент, штриховые — расчет; $M_0 \cdot M_\Gamma = w_{\text{объект}}/w_{\text{опорн}}$ — соотношения пучков на голограмме в случаях без ГУИ и с его применением соответственно.

в восстановленном изображении, а I_c — интенсивность восстановленного изображения вблизи перекрестия.

Результаты сравнительного исследования ДЭ голограмм зеркальных и диффузно рассеивающих объектов с использованием ГУИ и в его отсутствие приведены на рис. 2. По оси ординат отложена относительная ДЭ, нормированная на максимальные значения $\Delta\mathcal{E}_{\max}$, измеренные в каждом из рассматриваемых случаев. В наиболее интересных ситуациях усиления предельно низких по интенсивности пучков значения $\Delta\mathcal{E}_{\text{отн}}$, при которых восстановленные изображения еще выделялись на фоне шумов, находились в диапазоне $\Delta\mathcal{E}_{\text{отн}} = 3 - 10 \cdot 10^{-3}$, абсолютные значения ДЭ при этом составляли $4 - 40 \cdot 10^{-2}\%$. По оси абсцисс отложены значения плотности энергии объектного пучка в плоскостях $A-B$, $A'-B'$ (см. рис. 1), ниже, на второй оси, отражены величины соотношений пучков $M = w_{\text{объект}}/w_{\text{опорн}}$ на голограмме 14 (рис. 1): сверху на оси — для случая усиления излучения ГУИ (M_Γ) и внизу — без использования усилителя (M_0). Нелинейность шкалы M_Γ связана с зависимостью коэффициента усиления объектной волны K в ДГ от соотношения пучков $M_{\text{ДГ}} = w_{\text{нак}}/w_{\text{объект}}$ на ее входе. По оси M легко найти K , имевшим место в экспериментах для данных значений w , который будет просто равен отношению $K = M_\Gamma/M_0$, а также величину эффективности преобразования η , которая в условиях экспериментов равна $\eta = M_\Gamma/M_0 M_{\text{ДГ}}$. Штриховые кривые 2, 2' получены путем расчета с использованием экспериментальных кривых 1, 1' и расчетных коэффициентов усиления [3] для условий экспериментов. Как видно из графиков данные эксперимента соответствуют расчету, что согласуется с выводом работы [7] о возможности использования усиленного тепловой ДГ излучения для эффективной записи голограмм в обычных регистрирующих средах в широком диапазоне изменений параметров ДГ. Из рис. 2 нетрудно видеть, что благодаря использованию ГУИ для усиления изображений при голографировании зеркальных и диффузно рассеивающих объектов существенно расширяется диапазон регистрируемых фотопластинкой ВРП интенсивностей объектного пучка — более чем на два порядка во всем исследованном диапазоне его плотностей энергии w . Из приведенных графиков можно

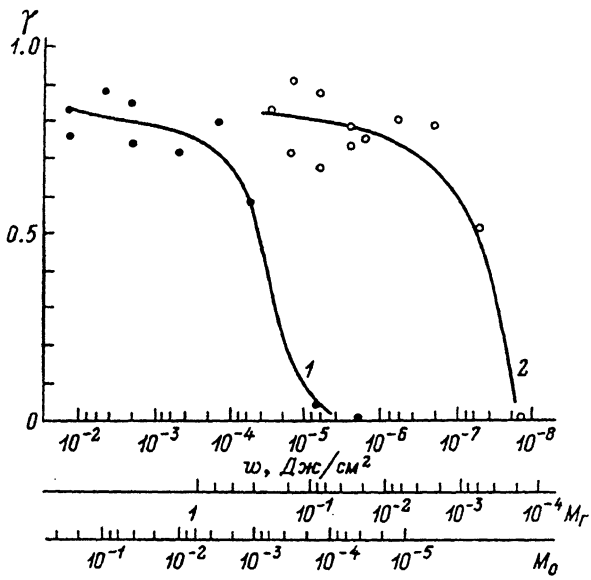


Рис. 3. Экспериментальная зависимость контраста восстановленного изображения от плотности энергии объектного пучка при записи голограмм диффузно рассеивающих объектов в случаях без усиления (1) и с усилением (2) объектного пучка.

M_0, M_r — то же, что и на рис. 2.

определить величину β (1) для различных значений w . Так, для случая плоских волн (рис. 2, а) и $w_1 = 10^{-4}$ Дж/см² коэффициент k был равен 0.92 (деление лазерного пучка на объектный и пучок накачки обеспечивалось клином 2 (рис. 1)), коэффициент α = 0.993 и связан был с поглощением в светофильтрах 5 и потерями на отражение зеркала 6, эффективность преобразования пучков ДГ составляла в этих условиях $\eta = 0.1$ и $\beta_1 = 13$. Эта величина, количественно отражающая выгоду использования ГУИ при голографировании объектов на фотопластинки ВРП, означает в данном случае, что голографическая регистрация малоинтенсивных изображений с приемлемой дифракционной эффективностью становится возможной на фотопластинках с чувствительностью, более чем на порядок меньшей, чем у пластинок ВРП. При $w_2 = 10^{-5}$ Дж/см² коэффициент потерь α увеличивается по сравнению с предыдущим случаем, составляя величину $\alpha = 0.9993$, и, несмотря на заметное снижение значения η , которая была равна здесь 0.015, $\beta_2 = 20$, т. е. эффективность использования лазерной энергии с помощью ГУИ в соответствии с (1) возросла в 1.5 раза. Заметим, что при оптимизации условий усиления изображений ГУИ, к чему мы не стремились в проведенных экспериментах, эффективность преобразования пучков ДГ может быть существенно повышена и, следовательно, увеличится β .

На рис. 3 по оси ординат отложен контраст восстановленного голограммой изображения диффузно рассеивающего объекта, оси абсцисс те же, что и на рис. 2. Из рисунка следует, во-первых, что отношение значений w^{pr} и w_r^{pr} , соответствующих предельно низким контрастам восстановленного изображения, которые еще можно было измерить в случаях записи изображений без ГУИ и при его участии, соответственно составляло $w^{pr}/w_r^{pr} = 160 - 200$. Это означает, что применение ГУИ при голографической регистрации изображений на фотопластинку ВРП позволило более чем на два порядка снизить уровень интенсивности излучения, который может зарегистрировать данный фотоматериал. И, во-вторых, контраст восстановленных изображений в обоих рассматриваемых случаях был

примерно равный по величине при одинаковых соотношениях пучков на голограмме ($M_{\Gamma} = M_0$), что свидетельствует о пренебрежимо малом вкладе в восстановленное изображение собственных шумов используемой ДГ по сравнению с аналогичным вкладом самих пластинок ВРП и согласуется с выводом [8] о возможности применения импульсных тепловых ДГ для повышения чувствительности методов регистрации оптических сигналов на галоидсеребряные среды.

Таким образом, результаты работы показали возможность значительного расширения интервала регистрируемых интенсивностей при помощи импульсного ГУИ с тепловыми ДГ в своей основе на примере голографической записи изображений галоидсеребряным фотоматериалом, что позволило повысить чувствительность метода регистрации изображений использовавшимся в исследованиях фотослоем более чем на два порядка. Очевидно, что оптический усилитель на тепловых ДГ может быть полезен не только при регистрации сигнала на галоидсеребряные слои, но и на иные регистрирующие среды.

В заключение авторы выражают признательность А. Л. Чураеву за полезное обсуждение результатов работы.

Список литературы

- [1] Березинская А. М., Духовный А. М. // Письма в ЖТФ. 1988. Т. 14. Вып. 24. С. 2259—2263.
- [2] Beresinskaya A., Dukhovny A. // SPIE proc. 1989. Vol. 1238. P. 80—84.
- [3] Березинская А. М., Духовный А. М. // ЖТФ. 1989. Т. 59. Вып. 12. С. 105—107.
- [4] Винецкий В. Л., Кухтарев Н. В., Одулов С. Г., Соскин М. С. // УФН. 1979. Т. 129. № 1. С. 113—137.
- [5] Березинская А. М., Духовный А. М., Стаселько Д. И. // Письма в ЖТФ. 1985. Т. 11. Вып. 15. С. 905—909.
- [6] Земсков К. И., Казарян М. А., Люксютов С. Ф. и др. // Письма в ЖЭТФ. 1988. Т. 48. Вып. 4. С. 187—189.
- [7] Березинская А. М., Духовный А. М. // Тез. докл. VI Всесоюз. конф. по голографии. Витебск, 1990. С. 90—91. ЖТФ. 1991. Т. 61. Вып. 11. С. 134—139.
- [8] Березинская А. М., Духовный А. М., Михальченко А. П., Чураев А. Л. // Тез. докл. VI Всесоюз. конф. по голографии. Витебск, 1990. С. 89—90.
- [9] Стаселько Д. И., Чураев А. Л. // Опт. и спектр. 1986. Т. 61. Вып. 3. С. 591—597.
- [10] Стаселько Д. И., Чураев А. Л. // Опт. и спектр. 1986. Т. 61. Вып. 4. С. 828—834.
- [11] Березинская А. М., Духовный А. М., Стаселько Д. И. // ЖТФ. 1988. Т. 58. Вып. 1. С. 94—101.
- [12] Ворзобова Н. Д., Гребеникова А. А. // Проблемы оптической голографии. Л., 1981. С. 43—49.

Поступило в Редакцию
24 апреля 1991 г.